

Introduction to Pólya-Gamma distribution

持橋大地

統計数理研究所 数理・推論研究系

daichi@ism.ac.jp

SVM 2017

2017-9-1 (Fri)

NAIST

Overview

- 離散分布とロジスティック分布
- ロジスティック回帰の完全ベイズ推定
- Pólya-Gamma 分布による Gibbs サンプラー
- ラプラス変換による証明
- 多値ロジスティック回帰, Stick-breaking 過程

Background

- 自然言語処理の離散分布

$$\mathbf{p} = (p_1, p_2, \dots, p_K) \quad (1)$$

で, 確率 p_1, \dots, p_K を直接モデル化するのは限界

- 共分散が常に一定 (center \leftrightarrow centre, nurse \leftrightarrow hospital)
 - $\sum_k p_k = 1$ の制約 (分布を modulate するのが難しい)
- LDA: トピック分布 $\{p(w|k)\}$ を通じて, 「まとめて」共分散を表現
 - word2vec: 単語を個々にモデル化できる, 統計的背景が弱い

ロジスティック分布

$$p(k) = \frac{e^{x_k}}{e^{x_1} + e^{x_2} + \dots + e^{x_K}}, \quad (x_1, \dots, x_K) \sim N(0, \Sigma) \quad (2)$$

- アイテム (単語やトピック) 間の共分散を行列 Σ で表現できる
- アイテム k に特徴ベクトル $\mathbf{x}_k = (x_{k1}, \dots, x_{kD})$ があり, 重み $\boldsymbol{\beta} = (\beta_1, \dots, \beta_D)$ で回帰される場合は

$$p(k|\mathbf{x}) = \frac{e^{\boldsymbol{\beta}^T \mathbf{x}_k}}{\sum_k e^{\boldsymbol{\beta}^T \mathbf{x}_k}} \quad \dots \text{ロジスティック回帰モデル.} \quad (3)$$

回帰係数 β の学習

$$p(k|\mathbf{x}) = \frac{\exp\left(\sum_{j=1}^D \beta_j x_{kj}\right)}{\sum_k \exp\left(\sum_{j=1}^D \beta_j x_{kj}\right)} \quad (4)$$

- Gradient を計算して最適化すればよいのでは?
↓
教師あり学習なら (大体)Yes, 教師なし学習では No
- 学習途中で, アイテム k の「特徴ベクトル」 \mathbf{x}_k 自体が学習すべき潜在変数
 - SGD 等で最適化してしまうと, あっという間に局所解にはまる
 - 正しい β の事後分布を求める必要.

例: Continuous-space topic models (NL213)

$$p(w|d) = \frac{p(w) \exp(\boldsymbol{\theta}_d^T \vec{w})}{\sum_v p(v) \exp(\boldsymbol{\theta}_d^T \vec{v})} \quad (5)$$

- 潜在層が連続値 (ガウス分布) の場合のニューラルネット型トピックモデル
- 文書 d の潜在ベクトル $\boldsymbol{\theta}_d$ も, 単語ベクトル \vec{w} も学習前には未知
- $\boldsymbol{\theta}$, \vec{w} の要素ごとに単純なランダムウォーク MCMC で学習 (NL213).
- $\boldsymbol{\theta}$ の「事後分布」を求めたい

ロジスティック回帰のベイズ推定

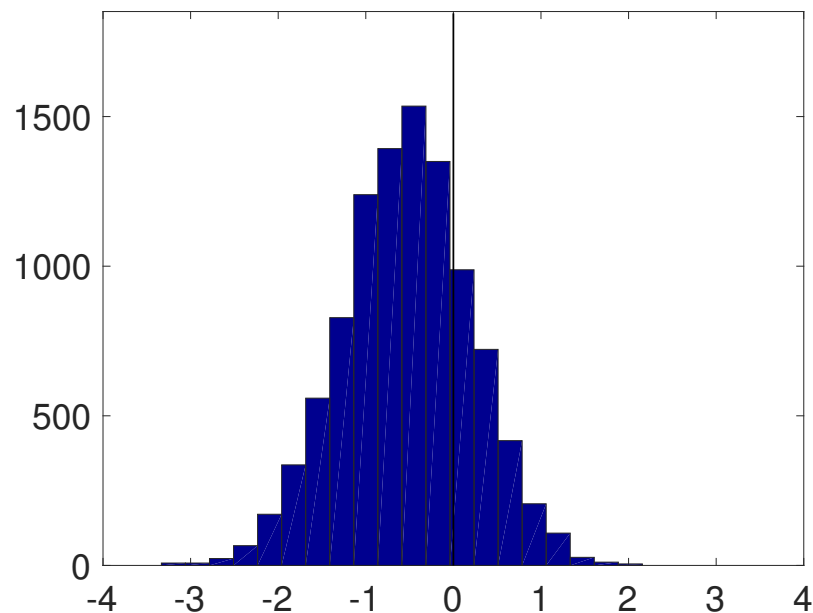
- 最も単純な場合:

$$\begin{cases} x \sim N(0, 1) \\ y \sim \text{Bernoulli}(\sigma(x)) \end{cases} \quad \left(\sigma(x) = \frac{1}{1 + e^{-x}} \right) \quad (6)$$

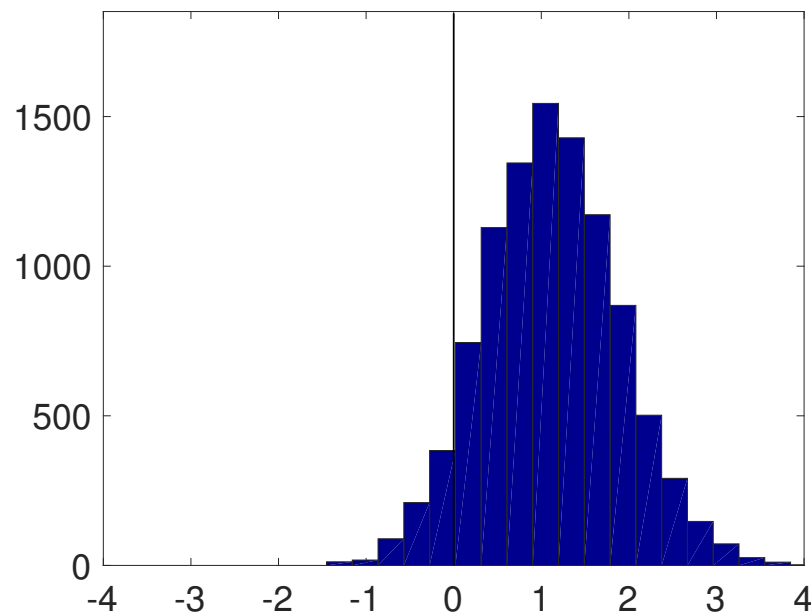
- いま, 観測値 $\mathbf{y} = (0, 0, 1, 0)$ だったとする. x の推定値は?
- Gibbs サンプルング: Albert&Chib (1993) の有名な Probit の場合と同様に, Groenewald&Mokgathe (2005) などで提案

ロジスティック回帰のベイズ推定 (2)

$y = [0 \ 0 \ 1 \ 0]$ の場合



$y = [1 \ 1 \ 1 \ 1]$ の場合



- x を点推定するのは, 大きく問題あり!
- 特に, 少量の観測値からの推測 (よくある), 社会科学・医学等の応用の場面

ロジスティック回帰のベイズ推定 (3)

- x の事後分布を, サンプルではなく **分布** で推定できないか?
 - $p(x|\mathbf{y})$ はガウス分布に似ているが, 正確には正規分布ではない
- 補助変数 ω を導入することにより, x をガウス分布として推定できる

$$\begin{cases} \text{Draw } \omega \sim \text{Pólya-Gamma}(n, x) \\ \text{Draw } x \sim \text{N}(\mu(\omega), V(\omega)) \end{cases} \quad (7)$$

- Pólya-Gamma 分布とは?

- Polson&Scott, “Bayesian inference for logistic models using Pólya-Gamma latent variables”, arXiv (2011), JASA (2013)

Bayesian inference for logistic models using
Pólya-Gamma latent variables

Nicholas G. Polson*
University of Chicago

James G. Scott†
Jesse Windle‡
University of Texas at Austin

First Draft: August 2011
This Draft: July 2013

Abstract

We propose a new data-augmentation strategy for fully Bayesian inference in models with binomial likelihoods. The approach appeals to a new class of Pólya-Gamma distributions, which are constructed in detail. A variety of examples are presented to show the versatility of the method, including logistic regression, negative binomial regression,

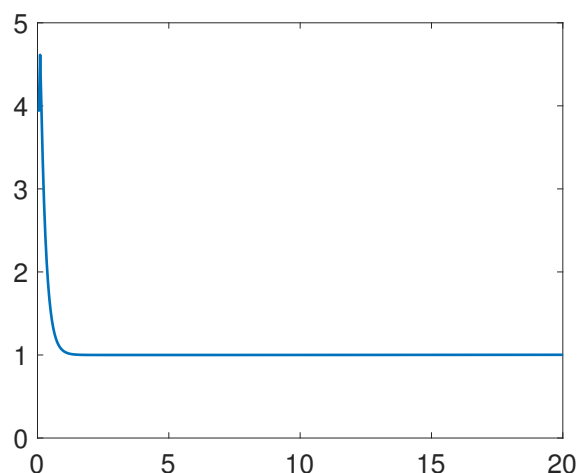
[stat.ME] 22 Jul 2013

- 激しく難解!!

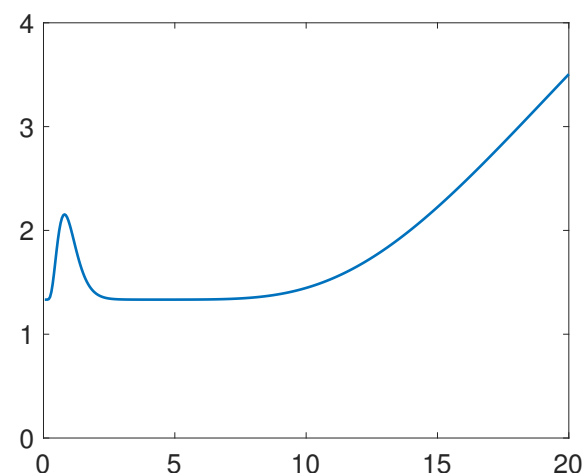
Pólya-Gamma 分布

$$\text{PG}(b, c) = \frac{1}{2\pi^2} \sum_{k=1}^{\infty} \frac{g_k}{\left(k - \frac{1}{2}\right)^2 + \frac{c^2}{4\pi^2}}, \quad g_k \sim \text{Ga}(b, 1). \quad (8)$$

- 無限個のガンマ乱数 $\text{Ga}(b, 1)$ の重みつき和
- Pólya の名前は, Pólya frequency function という解析学の概念に由来する (Karlin 1968)
 - 指数乱数の無限和で表現できる分布のクラス

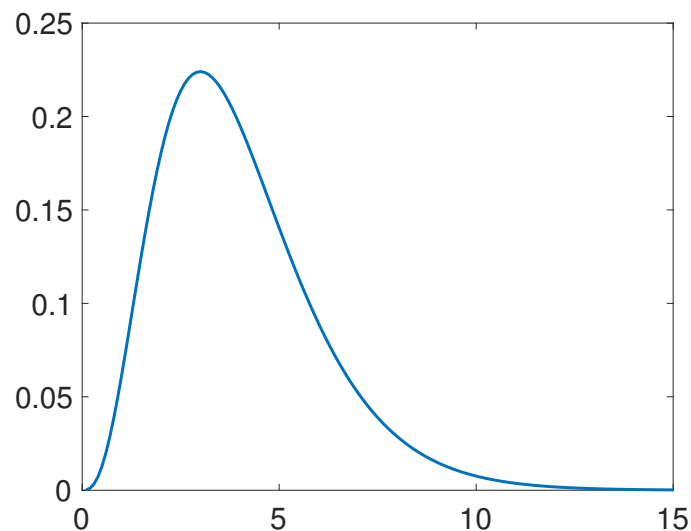


PG(1, 0)

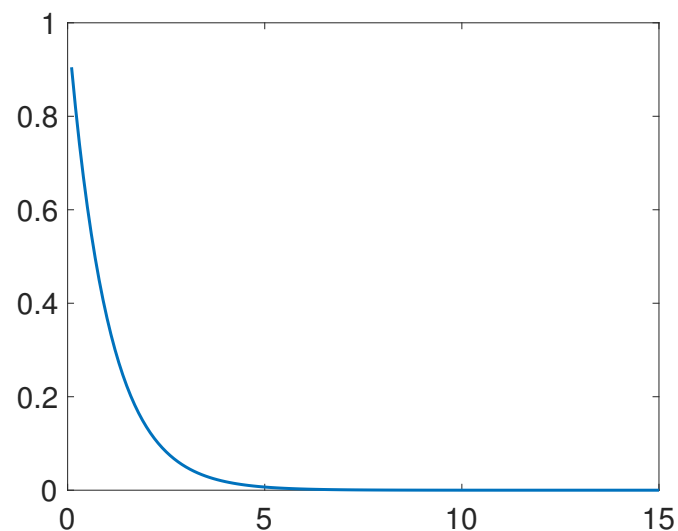


PG(4, 0)

ガンマ分布



$\text{Ga}(4, 1)$



$\text{Ga}(1, 1) = \text{Exp}(1)$

$$\text{Ga}(x|a, b) = \frac{b^a}{\Gamma(a)} x^{a-1} e^{-bx} \quad (9)$$

- 注:

$$\Gamma(a) = \int_0^{\infty} x^{a-1} e^{-x} dx . \quad (10)$$

ガンマ分布 (2)

- これから, ガンマ分布のラプラス変換は

$$E[e^{-tx}]_{x \sim \text{Ga}(a,b)} = \int_0^{\infty} e^{-tx} x^{a-1} e^{-bx} dx \quad (11)$$

$$= \int_0^{\infty} x^{a-1} e^{-(b+t)x} dx \quad (12)$$

$$= \frac{\Gamma(a)}{(b+t)^a} . \quad (13)$$

- 特に, 確率変数 X が $X \sim \frac{1}{a} \text{Ga}(b, 1)$ に従うとき,

$$E[e^{-tx}] = \int_0^{\infty} e^{-t \cdot \frac{1}{a} x} \cdot x^{b-1} e^{-x} dx \quad (14)$$

$$= \int_0^{\infty} x^{b-1} e^{-(\frac{t}{a}+1)x} dx \quad (15)$$

$$= \frac{\Gamma(b)}{\left(1 + \frac{t}{a}\right)^b} . \quad \square \quad (16)$$

二値ロジスティック回帰

- 簡単のため, まずは二値 $\{0, 1\}$ のロジスティック回帰モデルについて考える.
- いま, N 個の観測値があるとする.

$$\mathbf{y} = (y_1, y_2, \dots, y_N) \in \{0, 1\}^N \quad (17)$$

- このとき, 潜在変数 $x \in \mathbb{R}$ からのロジスティック回帰

$$p(y=1|x) = \sigma(x) = \frac{1}{1 + e^{-x}} = \frac{e^x}{1 + e^x} \quad (18)$$

で y が生成されたとすると,

$$p(\mathbf{y}|x) = \prod_{i=1}^N p(y_i|x) = \frac{(e^x)^n}{(1 + e^x)^N} \quad (19)$$

ただし n は \mathbf{y} の中で 1 が出た回数で, $n := \sum_{i=1}^N \mathbb{I}(y_i = 1)$.

二値ロジスティック回帰 (2)

$$p(\mathbf{y}|x) = \prod_{i=1}^N p(y_i|x) = \frac{(e^x)^n}{(1+e^x)^N} \quad (20)$$

- このとき $x \sim N(0, \sigma^2)$ とすれば, ベイズの定理から

$$p(x|\mathbf{y}) \propto p(\mathbf{y}|x)p(x) = e^{-\frac{1}{2\sigma^2}x^2} \frac{(e^x)^n}{(1+e^x)^N} \quad (21)$$

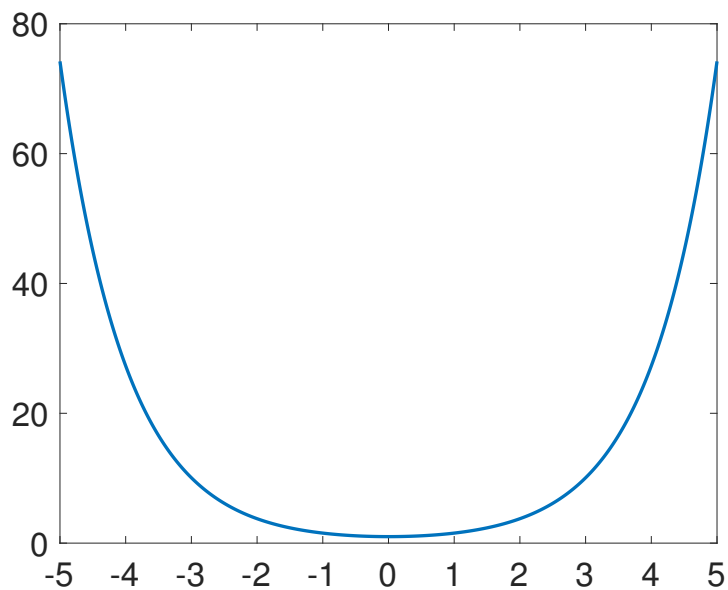
- x の事後分布が解析的な形にならない!!

↓

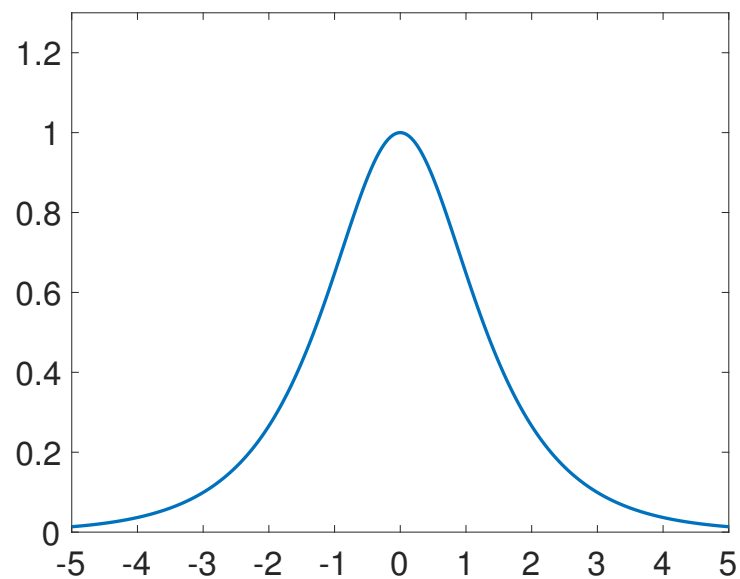
どうするか?

Hyperbolic cosine 関数

$$\cosh x = \frac{e^x + e^{-x}}{2} \quad (22)$$



$$y = \cosh(x)$$



$$y = \cosh^{-1}(x)$$

準備 (1)

$$\cosh x = \frac{e^x + e^{-x}}{2} \quad (23)$$

$$= \frac{1}{2} \left(e^x + \frac{1}{e^x} \right) = \frac{1}{2} \frac{e^{2x} + 1}{e^x} \quad (24)$$

- よって,

$$\cosh \frac{x}{2} = \frac{1}{2} \frac{e^x + 1}{e^{\frac{x}{2}}} \quad (25)$$

$$\therefore \cosh^{-1} \frac{x}{2} = 2 \frac{e^{\frac{x}{2}}}{e^x + 1} \quad (26)$$

- これから,

$$\left(\cosh^{-1} \frac{x}{2} \right)^a = 2^a \frac{e^{\frac{x}{2}a}}{(e^x + 1)^a} = 2^a \frac{(e^x)^{\frac{a}{2}}}{(e^x + 1)^a} \quad (27)$$

が成り立つ.

準備 (2)

$$\left(\cosh^{-1} \frac{x}{2}\right)^a = 2^a \frac{e^{\frac{x}{2}a}}{(e^x + 1)^a} = 2^a \frac{(e^x)^{\frac{a}{2}}}{(e^x + 1)^a} \quad (28)$$

- よって,

$$\frac{(e^x)^a}{(e^x + 1)^b} = \cosh^{-b} \frac{x}{2} \cdot \frac{e^{xa}}{e^{\frac{x}{2}b}} \cdot 2^{-b} \quad (29)$$

$$= 2^{-b} e^{(a - \frac{b}{2})x} \cosh^{-b} \frac{x}{2} \quad (30)$$

- これを使えば,

$$p(\mathbf{y}|x) = \frac{(e^x)^n}{(1 + e^x)^N} = 2^{-N} e^{(n - \frac{N}{2})x} \cosh^{-N} \frac{x}{2} . \quad (31)$$

二値ロジスティック回帰 (3)

$$p(\mathbf{y}|x) = 2^{-N} e^{(n - \frac{N}{2})x} \cosh^{-N} \frac{x}{2} \quad (32)$$

- 上のままでは Gibbs サンプラーの使える共役形式にならないが、ここで次の魔法のような定理を導入する

Theorem 1 ω が Pólya-Gamma 分布 $\text{PG}(b, 0)$ に従うとき,

$$E[e^{-t\omega}]_{\omega \sim \text{PG}(b, 0)} = \cosh^{-b} \sqrt{\frac{t}{2}} \quad (33)$$

$\sqrt{\frac{t}{2}} = \frac{x}{2}$ すなわち $t = \frac{x^2}{2}$ とおけば,

$$E[e^{-\frac{x^2}{2}\omega}]_{\omega \sim \text{PG}(b, 0)} = \cosh^{-b} \frac{x}{2}. \quad (34)$$

注意

$$E[e^{-\frac{x^2}{2}\omega}]_{\omega \sim \text{PG}(b,0)} = \cosh^{-b} \frac{x}{2}$$

は, ガウス分布の分散 (精度) に関する **scale mixture** を表している

- $e^{-\frac{x^2}{2}\omega} = e^{-\frac{x^2}{2/\omega}}$ なので, 精度 $\omega = \sigma^{-1}$ を **PG** 分布に従って様々に変えたときの, ガウス分布 $x \sim \text{N}(0, \sigma^2)$ の確率密度の期待値
- 参考: t 分布

$$\int_0^{\infty} \text{N}(x|\mu, (\eta\lambda)^{-1}) \text{Ga}(\eta|\nu/2, \nu/2) d\eta \quad (35)$$

$$= \text{St}(x|\mu, \lambda, \nu) \quad (36)$$

二値ロジスティック回帰 (4)

(34) 式をもとの式に代入すれば,

$$p(\mathbf{y}|x) = \frac{(e^x)^n}{(1+e^x)^N} = 2^{-N} e^{(n-\frac{N}{2})x} \int_0^\infty e^{-\frac{x^2}{2}\omega} \text{PG}(\omega|b, 0) d\omega \quad (37)$$

すなわち,

$$p(\mathbf{y}, \omega|x) \propto \underbrace{e^{(n-\frac{N}{2})x} e^{-\frac{x^2}{2}\omega}}_{\text{Gaussian}} \text{PG}(\omega|N, 0) \quad (38)$$

- ここで, 青い部分で次の定理が成り立つことを利用する.

Theorem 2

$$e^{-\frac{x^2}{2}\omega} \text{PG}(\omega|b, 0) \sim \text{PG}(\omega|b, x) \quad (39)$$

- PG 事前分布 $\text{PG}(\omega|b, 0)$ は, 「尤度」 $e^{-\frac{x^2}{2}\omega}$ によって, 事後分布 $\text{PG}(\omega|b, x)$ になる

二値ロジスティック回帰 (5)

- ゆえに,

$$p(x, \omega | \mathbf{y}) \propto p(x)p(\mathbf{y}, \omega | x) \quad (40)$$

$$\begin{aligned} & \text{Gaussian} \\ & \propto \underbrace{e^{-\frac{1}{2\sigma^2}x^2} e^{(n-\frac{N}{2})x}}_{\text{Gaussian}} \underbrace{e^{-\frac{x^2}{2}\omega}}_{\text{PG}(\omega|N,0)} \text{PG}(\omega|N, 0) \quad (41) \\ & \text{PG}(\omega|N, x) \end{aligned}$$

- これから, 次の2ステップを繰り返す Gibbs サンプラーで, x は正しい分布に収束する. \square
 - (i) x の下で, ω を $\text{PG}(N, x)$ から draw
 - (ii) ω の下で, x を (41) 式の Gaussian から draw

定理 1 (PG 分布のラプラス変換) の証明

$$x \sim \text{PG}(b, 0) = \frac{1}{2\pi^2} \sum_{k=1}^{\infty} \frac{g_k}{\left(k - \frac{1}{2}\right)^2} \quad \text{のとき,} \quad (42)$$

$$E[e^{-tx}] = \int_0^{\infty} e^{-tx} \text{PG}(x|b, 0) dx \quad (43)$$

$$= \int_0^{\infty} e^{-t\left(\frac{1}{2\pi^2} \sum_{k=1}^{\infty} \frac{x}{\left(k - \frac{1}{2}\right)^2}\right)} x^{b-1} e^{-x} dx \quad (44)$$

$$= \prod_{k=1}^{\infty} \int_0^{\infty} x^{b-1} e^{-\left(1 + \frac{t}{2\pi^2\left(k - \frac{1}{2}\right)^2}\right)x} dx \quad (45)$$

$$= \prod_{k=1}^{\infty} \frac{\Gamma(b)}{\left(1 + \frac{t}{2\pi^2\left(k - \frac{1}{2}\right)^2}\right)^b} \quad (\text{準備より}) \quad (46)$$

$$= \cosh^{-b} \sqrt{\frac{x}{2}}. \quad (\text{準備より}) \quad (47)$$

Weierstrass の分解定理

$$\cosh x = \prod_{k=1}^{\infty} \left(1 + \frac{4}{\pi^2} \frac{x^2}{(2k-1)^2} \right) \quad (48)$$

$x := \sqrt{\frac{x}{2}}$ を代入して,

$$\cosh \sqrt{\frac{x}{2}} = \prod_{k=1}^{\infty} \left(1 + \frac{4}{\pi^2} \frac{\frac{x}{2}}{(2k-1)^2} \right) \quad (49)$$

$$= \prod_{k=1}^{\infty} \left(1 + \frac{x}{2\pi^2 \left(k - \frac{1}{2}\right)^2} \right) \quad (50)$$

よって,

$$\cosh^{-b} \sqrt{\frac{x}{2}} = \prod_{k=1}^{\infty} \left(1 + \frac{x}{2\pi^2 \left(k - \frac{1}{2}\right)^2} \right)^{-b}. \quad (51)$$

定理 2 (PG 分布の事後分布) の証明

- ガウス分布の分散 (精度) の, $\text{PG}(b, 0)$ による **scale mixture** を考える.

$$f = \frac{e^{-\frac{c^2}{2}x} \text{PG}(x|b, 0)}{\int_0^\infty e^{-\frac{c^2}{2}x} \text{PG}(x|b, 0)dx} = \frac{e^{-\frac{c^2}{2}x} \text{PG}(x|b, 0)}{\cosh^{-b}\left(\frac{c}{2}\right)} \quad (52)$$

- ラプラス変換すると,

$$E[e^{-tx}]_{x \sim f} = \frac{\int_0^\infty e^{-\left(t + \frac{c^2}{2}\right)x} \text{PG}(x|b, 0)dx}{\cosh^{-b}\left(\frac{c}{2}\right)} \quad (53)$$

$$= \frac{\cosh^b\left(\frac{c}{2}\right)}{\cosh^b\left(\sqrt{\frac{t + \frac{c^2}{2}}{2}}\right)} \quad (54)$$

定理 2 (PG 分布の事後分布) の証明 (2)

- Weierstrass の分解定理より,

$$E[e^{-tx}]_{x \sim f} = \prod_{k=1}^{\infty} \left(\frac{1 + \frac{c^2/2}{2\pi^2(k-\frac{1}{2})^2}}{1 + \frac{c^2/2+t}{2\pi^2(k-\frac{1}{2})^2}} \right)^b \quad (55)$$

$$= \prod_{k=1}^{\infty} \left(\frac{1 + \frac{c^2/2}{y}}{1 + \frac{c^2/2+t}{y}} \right)^b = \prod_{k=1}^{\infty} \left(\frac{y + \frac{c^2}{2}}{y} \cdot \frac{y}{y + \frac{c^2}{2} + t} \right)^b$$

$$= \prod_{k=1}^{\infty} \left(\frac{2\pi^2 z + c^2/2}{2\pi^2 z + c^2/2 + t} \right)^b \quad \left(z = \left(k - \frac{1}{2} \right)^2 \right) \quad (56)$$

- ここで

$$\frac{X}{X+t} = \left(\frac{X+t}{X} \right)^{-1} = \left(1 + \frac{t}{X} \right)^{-1} \quad \text{なので,} \quad (57)$$

定理 2 (PG 分布の事後分布) の証明 (3)

$$E[e^{-tx}]_{x \sim f} = \prod_{k=1}^{\infty} \left(1 + \frac{t}{2\pi^2 z + \frac{c^2}{2}} \right)^{-b} \quad (58)$$

$$= \prod_{k=1}^{\infty} (1 + d_k^{-1}t)^{-b} \quad \left(d_k = 2\pi^2 \left(k - \frac{1}{2} \right)^2 + \frac{c^2}{2} \right) \quad (59)$$

- ここで $(1 + d_k^{-1}t)^{-b} = \frac{1}{\left(\frac{1}{d_k}t + 1 \right)^b} \quad (60)$

はガンマ分布 $\frac{1}{d_k} \text{Ga}(b, 1)$ のラプラス変換だから, 変換を元に戻せば

$$f = \sum_{k=1}^{\infty} \frac{g_k}{2\pi^2 \left(k - \frac{1}{2} \right)^2 + \frac{c^2}{2}}, \quad g_k \sim \text{Ga}(b, 1) \quad (61)$$

$$= \frac{1}{2\pi^2} \sum_{k=1}^{\infty} \frac{g_k}{\left(k - \frac{1}{2} \right)^2 + \frac{c^2}{4\pi^2}}, \quad g_k \sim \text{Ga}(b, 1) = \text{PG}(b, c). \quad \square$$

Pólya-Gamma Gibbs sampling: ω の事後分布

- 元に戻って, ロジスティック回帰の学習アルゴリズムを導出する.
- 特徴ベクトル $x_i = (x_{i1}, \dots, x_{id})$ をもつアイテムについて, n_i 回の試行についての観測値 y_i が

$$y_i \sim \text{Binom}(n_i, \sigma(x_i^T \boldsymbol{\beta})) \quad (63)$$

で得られたとする. ($i = 1, \dots, N$)

- このとき, 前の議論から

$$p(y_i | x_i, \boldsymbol{\beta}) \propto e^{(y - \frac{n_i}{2})x} e^{-\frac{x_i^2}{2}\omega_i} \text{PG}(\omega_i | n_i, 0) \quad (64)$$

なので, ω_i の事後分布は

$$\omega_i | \boldsymbol{\beta} \sim \text{PG}(n_i, x_i^T \boldsymbol{\beta}) . \quad (65)$$

Pólya-Gamma Gibbs sampling: β の事後分布

- 同様に β については, データ $Y = (y_1, \dots, y_N)$ 全体に関わるので

$$\prod_{i=1}^N p(y_i | x_i, \beta) \propto e^{\sum_{i=1}^N (y_i - \frac{n_i}{2}) x_i^T \beta} e^{-\sum_{i=1}^N \frac{(x_i^T \beta)^2}{2} \omega_i} \quad (66)$$

- よって, $\kappa_i = y_i - n_i/2$, $z_i = \kappa_i / \omega_i$ とおいて

$$\sum_{i=1}^N \log p(y_i | x_i, \beta) \propto \sum_{i=1}^N \left[\left(y_i - \frac{n_i}{2} \right) x_i^T \beta - \frac{(x_i^T \beta)^2}{2} \omega_i \right] \quad (67)$$

$$= \sum_{i=1}^N \left[-\frac{\omega_i}{2} \left((x_i^T \beta)^2 - 2 \frac{\kappa_i}{\omega_i} x_i^T \beta \right) \right] \quad (68)$$

$$\propto \sum_{i=1}^N \left[-\frac{\omega_i}{2} \left(x_i^T \beta - \frac{\kappa_i}{\omega_i} \right)^2 \right] \quad (69)$$

$$\propto -\frac{1}{2} (z - X\beta)^T \Omega (z - X\beta) \quad (70)$$

Pólya-Gamma Gibbs sampling: β の事後分布 (2)

$$\log p(\beta|X, \Omega) \propto (z - X\beta)^T \Omega (z - X\beta) + \beta^T \Sigma \beta \quad (71)$$

$$= \beta^T \underbrace{(X^T \Omega X + \Sigma)}_V \beta + 2\beta^T (X^T \Omega z) + z^T \Omega z \quad (72)$$

- 一方,

$$(\beta - m)^T V (\beta - m) = \beta^T V \beta - 2\beta^T (Vm) + m^T V m \quad (73)$$

と比較して,

$$Vm = X^T \Omega z \quad (74)$$

$$\therefore m = V^{-1} X^T \Omega z \quad (75)$$

- よって,

$$\beta | X, \Omega \sim N(V^{-1} X^T \Omega z, V^{-1}). \quad (76)$$

多値ロジスティック回帰

- \mathbf{x}_i から出力カテゴリ j が選ばれる確率は

$$p(j|\mathbf{x}_i) = \frac{e^{\mathbf{x}_i^T \boldsymbol{\beta}_j}}{\sum_{k=1}^K e^{\mathbf{x}_i^T \boldsymbol{\beta}_k}} = \frac{\exp(\mathbf{x}_i^T \boldsymbol{\beta}_j - c_{ij})}{1 + \exp(\mathbf{x}_i^T \boldsymbol{\beta}_j - c_{ij})} \quad (77)$$

$$c_{ij} = \log \sum_{k \neq j} \exp(\mathbf{x}_i^T \boldsymbol{\beta}_k)$$

- 上の確率を θ_{ij} とおくと,

$$p(\boldsymbol{\beta}_j | \boldsymbol{\beta}_{-j}, \mathbf{y}) \propto \prod_{i=1}^N \prod_{k=1}^K p(j|\mathbf{x}_i)^{\mathbb{I}(y_i=j)} p(k \neq j|\mathbf{x}_i)^{\mathbb{I}(y_i \neq j)} \quad (78)$$

$$= \prod_{i=1}^N \theta_{ij}^{\mathbb{I}(y_i=j)} \left(\frac{\sum_{k \neq j} e^{\mathbf{x}_i^T \boldsymbol{\beta}_k} \cdot \frac{e^{\mathbf{x}_i^T \boldsymbol{\beta}_j}}{\sum_{k \neq j} e^{\mathbf{x}_i^T \boldsymbol{\beta}_k}}}{\sum_{k=1}^K e^{\mathbf{x}_i^T \boldsymbol{\beta}_k}} \right) \quad (79)$$

$$= \prod_{i=1}^N \theta_{ij}^{\mathbb{I}(y_i=j)} ((1 - \theta_{ij}) w_i)^{\mathbb{I}(y_i \neq j)} \quad (80)$$

多値ロジスティック回帰 (2)

$$p(\boldsymbol{\beta}_j | \boldsymbol{\beta}_{-j}, \mathbf{y}) \propto \prod_{i=1}^N \theta_{ij}^{\mathbb{I}(y_i=j)} (1 - \theta_{ij})^{\mathbb{I}(y_i \neq j)} \quad (81)$$

- したがって尤度項は

$$\prod_{i=1}^N e^{\kappa_{ij} \theta_{ij}} e^{-\frac{\theta_{ij}^2}{2} \omega_{ij}} \text{PG}(\omega_{ij} | n_i, 0) \quad (82)$$

- これから, 更新式は

$$\begin{cases} \omega_{ij} | \boldsymbol{\beta}_j \sim \text{PG}(n_i, \theta_{ij}) \\ \boldsymbol{\beta}_j | \Omega_j \sim \text{N}(m_j(\Omega), V_j(\Omega)) \end{cases} . \quad (83)$$

まとめ

- ロジスティック回帰モデルの完全なベイズ推定
 - Pólya-Gamma 分布に従う補助変数 ω の下で, パラメータはガウス分布に従う
- ロジスティック回帰を, 統計モデルのコンポーネントとして使うことができる
 - 教師なし学習でも OK
 - 豊富な共分散構造・連続値モデル
- 多値および Stick-breaking 過程への展開, 様々な modulation